



Prowadzący instalację:

P4 Sp. z o. o.
ul. Wynalazek 1
02-677 Warszawa

Warszawa, 25 kwi 2023

Adres do korespondencji:

P4 Sp. z o. o.
ul. Wynalazek 1,
02-677 Warszawa

Starostwo Powiatowe w Pułtusk
Wydział Rolnictwa, Leśnictwa i Ochrony
Środowiska

Przedłożenie informacji o zmianie danych w instalacji

o których mowa w przedłożeniu informacji dla PLT3301B z dnia 27 mar 2023

dotyczy: informacji o zmianie w zakresie danych w przedłożeniu informacji dla PLT3301B.

Adres zakładu, na którego terenie prowadzona jest eksploatacja instalacji:

06-100 Pułtusk, New Britain 1, gm. Pułtusk, pow. pułtuski

Podstawa prawna: ustawa z dnia 27 kwietnia 2001 r. Prawo ochrony środowiska, art. 152, ust 6, pkt 1, lit. c)

Niniejsza informacja zawiera wyłącznie dane, które uległy zmianie.

1) Oznaczenie prowadzącego instalację, jego adres zamieszkania lub siedziby.

Brak zmian.

2) Rodzaj i zakres prowadzonej działalności, w tym wielkość produkcji lub wielkość świadczonych usług.

Usługi telekomunikacyjne, transmisja danych: 1TB/doba.

3) Czas funkcjonowania instalacji (dni tygodnia i godziny).

Brak zmian.

4) Wielkość i rodzaj emisji.

Dane przed zmianą:

| L.p. | Nazwa anteny | Wysokość [m n.p.t.] | Rodzaj emisji | Równoważna moc | Azymut | Kąt pochylenia | Częstotliwość |
|------|--------------|------------------------|------------------|-------------------|--------|-------------------|---------------|
|------|--------------|------------------------|------------------|-------------------|--------|-------------------|---------------|

| | | | | promieniowana izotropowo | | | |
|----|----------|------|-----|-----------------------------|------|-------|----------|
| 1 | 11_HV | 28,9 | PEM | 1598 W | 0° | 0-10° | 800 MHz |
| 2 | 11_HV | 28,9 | PEM | 10214 W | 0° | 0-10° | 2600 MHz |
| 3 | 12_GHLNT | 28,9 | PEM | 1701 W | 0° | 0-10° | 900 MHz |
| 4 | 12_GHLNT | 28,9 | PEM | 10374 W | 0° | 0-10° | 1800 MHz |
| 5 | 12_GHLNT | 28,9 | PEM | 11014 W | 0° | 0-10° | 2100 MHz |
| 6 | 21_HV | 28,9 | PEM | 1598 W | 120° | 0-10° | 800 MHz |
| 7 | 21_HV | 28,9 | PEM | 10214 W | 120° | 0-10° | 2600 MHz |
| 8 | 22_GHLNT | 28,9 | PEM | 1701 W | 120° | 0-10° | 900 MHz |
| 9 | 22_GHLNT | 28,9 | PEM | 10374 W | 120° | 0-10° | 1800 MHz |
| 10 | 22_GHLNT | 28,9 | PEM | 11014 W | 120° | 0-10° | 2100 MHz |
| 11 | 31_GHLNT | 28,9 | PEM | 1701 W | 238° | 0-10° | 900 MHz |
| 12 | 31_GHLNT | 28,9 | PEM | 10374 W | 238° | 0-10° | 1800 MHz |
| 13 | 31_GHLNT | 28,9 | PEM | 11014 W | 238° | 0-10° | 2100 MHz |
| 14 | 32_HV | 28,9 | PEM | 1598 W | 238° | 0-10° | 800 MHz |
| 15 | 32_HV | 28,9 | PEM | 10214 W | 238° | 0-10° | 2600 MHz |
| 16 | RL1 | 29,4 | PEM | 1413 W | 4° | | 80 GHz |
| 17 | RL2 | 30 | PEM | 7586 W | 125° | | 80 GHz |
| 18 | RL3 | 29,4 | PEM | 5623 W | 174° | | 18 GHz |
| 19 | RL4 | 28,2 | PEM | 5623 W | 213° | | 18 GHz |

Dane po zmianie:

| L.p. | Nazwa anteny | Wysokość [m n.p.t.] | Rodzaj emisji | Równoważna moc promieniowana izotropowo | Azymut | Kąt pochylenia | Częstotliwość |
|------|--------------|------------------------|------------------|--|--------|-------------------|---------------|
| 1 | 11_HV | 28,9 | PEM | 1598 W | 0° | 0-10° | 800 MHz |
| 2 | 11_HV | 28,9 | PEM | 10214 W | 0° | 0-10° | 2600 MHz |
| 3 | 12_GHLNT | 28,9 | PEM | 1701 W | 0° | 0-10° | 900 MHz |
| 4 | 12_GHLNT | 28,9 | PEM | 10374 W | 0° | 0-10° | 1800 MHz |
| 5 | 12_GHLNT | 28,9 | PEM | 11014 W | 0° | 0-10° | 2100 MHz |
| 6 | 21_HV | 28,9 | PEM | 1598 W | 120° | 0-10° | 800 MHz |
| 7 | 21_HV | 28,9 | PEM | 10214 W | 120° | 0-10° | 2600 MHz |
| 8 | 22_GHLNT | 28,9 | PEM | 1701 W | 120° | 0-10° | 900 MHz |
| 9 | 22_GHLNT | 28,9 | PEM | 10374 W | 120° | 0-10° | 1800 MHz |
| 10 | 22_GHLNT | 28,9 | PEM | 11014 W | 120° | 0-10° | 2100 MHz |
| 11 | 31_GHLNT | 28,9 | PEM | 1701 W | 238° | 0-10° | 900 MHz |
| 12 | 31_GHLNT | 28,9 | PEM | 10374 W | 238° | 0-10° | 1800 MHz |
| 13 | 31_GHLNT | 28,9 | PEM | 11014 W | 238° | 0-10° | 2100 MHz |
| 14 | 32_HV | 28,9 | PEM | 1598 W | 238° | 0-10° | 800 MHz |
| 15 | 32_HV | 28,9 | PEM | 10214 W | 238° | 0-10° | 2600 MHz |
| 16 | RL1 | 29,4 | PEM | 1413 W | 4° | | 80 GHz |
| 17 | RL2 | 30 | PEM | 7586 W | 125° | | 80 GHz |
| 18 | RL3 | 29,4 | PEM | 5623 W | 174° | | 18 GHz |
| 19 | RL4 | 29,4 | PEM | 1820 W | 191° | | 80 GHz |
| 20 | RL5 | 28,2 | PEM | 5623 W | 213° | | 18 GHz |

5) Opis stosowanych metod ograniczania wielkości emisji.

Brak zmian.

6) Informacja, czy stopień ograniczania wielkości emisji jest zgodny z obowiązującymi przepisami.

Stopień ograniczenia wielkości emisji jest zgodny z obowiązującymi przepisami.

7) (uchylony)

-/-

8) Sprawozdanie z wykonanych pomiarów poziomów pól EM, o których mowa w art. 122a ust. 1 pkt 1.

Sprawozdanie nr 33/04/OŚ/2023-P4-W z dnia 18 kwi 2023, Nr akredytacji PCA – AB 1630.

Koordynator OŚ
Alicja Bogumił
kom. -

Signature Not Verified

Dokument podpisany przez
ALICJA BOGUMIŁ
Data: 2023.04.25 15:37:01
CEST



Laboratorium EMVO Sp. J. Urbański, Pawelak
ul. Jasna 1
00-013 Warszawa

tel. +48 22 780 29 64
e-mail: laboratorium@emvo.pl



AB 1630

Sprawozdanie z pomiarów pól elektromagnetycznych - środowisko nr 33/04/OŚ/2023-P4-W



| | | |
|-------------------|--|--------------------------|
| Nr i nazwa stacji | PLT3301B | |
| Adres | Pułtusk, New Britain 1, pow. pułtuski, woj. mazowieckie | |
| Opracowanie | Martyna Karczmarczyk | Specjalista ds. pomiarów |
| Autoryzacja | Andrzej Urbański | Kierownik Laboratorium |
| Podpis | Signature Not Verified Dokument podpisany przez Andrzej Urbański Data: 2023.04.19 20:21:58 CEST Powód: Zatwierdzam dokument | |
| Data | 2023-04-18 | |

Spis treści

| | |
|---|---|
| 1. Informacje ogólne..... | 3 |
| 2. Podstawa prawna..... | 3 |
| 3. Opis pomiarów..... | 4 |
| 4. Zróżnicowanie dopuszczalne poziomy pól elektromagnetycznych..... | 5 |
| 5. Charakterystyka źródeł PEM..... | 5 |
| 6. Wyniki pomiarów..... | 5 |
| 7. Stwierdzenie zgodności..... | 6 |
| 8. Oświadczenie..... | 8 |
| 9. Spis załączników..... | 8 |

1. Informacje ogólne.

| | |
|---|--|
| Zleceniodawca | P4 sp. z o.o., ul. Wynalazek 1, 02-677 Warszawa osoba udzielająca informacji- Monika Bierozą |
| Istotne informacje dostarczone przez klienta | komplet informacji niezbędnych do wykonania pomiarów i opracowania sprawozdania |
| Dane otrzymane od klienta mogące mieć wpływ na ważność wyników | Dane anten sektorowych, dane anten radioliniowych, parametry pracy instalacji, ustawienie pochylenia anten |
| Prowadzący instalację | P4 sp. z o.o., ul. Wynalazek 1, 02-677 Warszawa |
| Lokalizacja obiektu | Pułtusk, New Britain 1, pow. pułtuski, woj. mazowieckie |
| Miejsce instalacji anten | Komin ceglany |
| Miejsce instalacji urządzeń | Outdoor |
| Osoby wykonujące pomiar | Jarosław Buzafa |
| Data wykonania pomiaru | 18.04.2023 |
| Temperatura na początku pomiaru [°C] | 14,0 |
| Temperatura na koniec pomiaru [°C] | 15,0 |
| Warunki atmosferyczne | Brak opadów |
| Wilgotność na początku pomiaru [%] | 55,0 |
| Wilgotność na koniec pomiaru [%] | 55,0 |
| Godzina na początku pomiaru | 10:25 |
| Godzina na koniec pomiaru | 12:22 |
| Inne źródła pól elektromagnetycznych oznaczone na załączniku graficznym | Występują |
| Parametry pracy instalacji | Tryb eksploatacyjny |

2. Podstawa prawna.

2.1 Normy i rozporządzenia:

- Rozporządzeniem Ministra Klimatu z dnia 17 lutego 2020 r. w sprawie sposobów sprawdzania dotrzymania dopuszczalnych poziomów pól elektromagnetycznych w środowisku (Dz.U. 2020 poz. 258)
- Rozporządzenie Ministra Zdrowia z dnia 17 grudnia 2019 r. w sprawie dopuszczalnych poziomów pól elektromagnetycznych w środowisku (Dz.U. 2019 poz. 2448)
- Obwieszczenie Marszałka Sejmu Rzeczypospolitej Polskiej z dnia 29 września 2021 r. w sprawie ogłoszenia jednolitego tekstu ustawy - Prawo ochrony środowiska (Dz.U. 2021 poz. 1973)
- Rozporządzenie Ministra Klimatu i Środowiska z dnia 6 maja 2022 r. zmieniające rozporządzenie w sprawie sposobów sprawdzania dotrzymywania dopuszczalnych poziomów pól elektromagnetycznych w środowisku (Dz.U. 2022 poz. 1121).

„Bez pisemnej zgody Laboratorium niniejsze sprawozdanie nie może być powielane inaczej, jak tylko w całości. Ponadto wyniki dotyczą tylko badanych obiektów przywołanych w niniejszym sprawozdaniu z badań”

3. Opis pomiarów

| | |
|--------------------------|--|
| Metodologia pomiarowa | Pomiary w oparciu o Rozporządzeniem Ministra Klimatu z dnia 17 lutego 2020 r. w sprawie sposobów sprawdzania dotrzymania dopuszczalnych poziomów pól elektromagnetycznych w środowisku (Dz.U. 2020 poz. 258) oraz Rozporządzenie Ministra Klimatu i Środowiska z dnia 6 maja 2022 r. zmieniające rozporządzenie w sprawie sposobów sprawdzania dotrzymywania dopuszczalnych poziomów pól elektromagnetycznych w środowisku (Dz.U. 2022 poz. 1121). |
| Cel badań | Określenie wartości natężenia pola elektrycznego w miejscach dostępnych dla ludności. |
| Opis zestawu pomiarowego | Miernik Narda NBM 520, Sonda EF 9091, o zakresie pomiarowym 0,7 V/m - 300V/m pracująca w paśmie 0,1 – 90 GHz, świadectwo wydane przez Laboratorium Wzorców i Metrologii Pola Elektromagnetycznego, Instytut Telekomunikacji, Teleinformatyki i Akustyki Politechniki Wrocławskiej. Świadectwo ważne do 07.07.2023. Miernik Narda NBM 520, Sonda EF 9091 pracująca w zakresie temperatury -10°C - +50°C oraz wilgotności 5% - 95%. Niepewność rozszerzona wynosi 57,0% przy poziomie ufności 95% z uwzględnieniem współczynnika rozszerzenia k=2. |
| Wyposażenie pomocnicze | Termohigrometr Termoprodukt, typ: Termik+, Nr. inwentarzowy 37/WL, nr identyfikacyjny 700618, świadectwo wzorcowania nr 1763/AH/19 z dn. 29.07.2019 r. wydane przez Laboratorium Pomiarowe "MUTECH". Przymiar wstępowy STABILA, Nr. inwentarzowy 36/WL, nr identyfikacyjny 31WL, świadectwo wzorcowania nr 6W1/1826/19 z dn. 02.08.2019 r. wydane przez Dyrektora Okręgowego Urzędu Miar w Gdańsku. GPS Garmin 64s okresowo sprawdzany w punktach osnowy geodezyjnej klasy 3 na podstawie licencji punktu, zgodnie z procedurą sprawdzeń okresowych IS/PO16-11/03. |
| Pomiary zostały wykonane | <ol style="list-style-type: none">1. na głównych i pomocniczych kierunkach pomiarowych, na kierunkach zbliżonych do azymutów anten oraz w dodatkowych pionach pomiarowych zgodnie z wymaganiami pkt 12, 13, 14 i 19 Rozporządzenia Ministra Klimatu z dnia 17 lutego 2020 r. (Dz. U. 2020, poz. 258) oraz Rozporządzenia Ministra Klimatu i Środowiska z dnia 6 maja 2022 r. zmieniającego rozporządzenie w sprawie sposobów sprawdzania dotrzymywania dopuszczalnych poziomów pól elektromagnetycznych w środowisku (Dz.U. 2022 poz. 1121).2. na obszarze pomiarowym, dla którego, na podstawie uprzednio przeprowadzonych obliczeń stwierdzono w miejscach dostępnych dla ludności występowanie pól elektromagnetycznych o najwyższym poziomie, które pochodzą z badanej instalacji zgodnie z wymaganiami pkt 5 ppkt 2 oraz pkt 13 ppkt 1 Rozporządzenia Ministra Klimatu z dnia 17 lutego 2020 r. w sprawie sposobów sprawdzania dotrzymania dopuszczalnych poziomów pól elektromagnetycznych w środowisku (Dz. U. 2020, poz. 258) oraz Rozporządzenia Ministra Klimatu i Środowiska z dnia 6 maja 2022 r. zmieniającego rozporządzenie w sprawie sposobów sprawdzania dotrzymywania dopuszczalnych poziomów pól elektromagnetycznych w środowisku (Dz.U. 2022 poz. 1121). Wyniki obliczeń nie uwzględniały parametrów pracy instalacji innych operatorów występujących na obiekcie bądź w obszarze pomiarowym.3. w miejscach dostępnych dla ludności.4. miejsca niedostępne podczas wykonywania pomiarów wskazane zostały w pkt 6 (tabeli wyniki pomiarów). |

Szczególne warunki podczas Pomiary wykonane zostały podczas obowiązywania w kraju stanu zagrożenia

„Bez pisemnej zgody Laboratorium niniejsze sprawozdanie nie może być powielane inaczej, jak tylko w całości. Ponadto wyniki dotyczą tylko badanych obiektów przywołanych w niniejszym sprawozdaniu z badań”

wykonywanie pomiarów

epidemicznego, zgodnie z art. 122a ust. 1b Ustawy z dnia 27 kwietnia 2001 r. – Prawo ochrony środowiska (Dz. U. z 2019 r. poz. 1396, z późn. zm.9)).

Warunki pracy urządzeń nadawczych

Tryb pracy eksploatacyjny.

4. Różnicowanie dopuszczalne poziomy pól elektromagnetycznych.

Zakresy znajdują się w Dzienniku Ustaw z dnia 17 grudnia 2019 r. przestawione są w tabeli nr 2 (Dz. U. z 2019r. poz. 2448).

| Parametr fizyczny | Składowa elektryczna E (V/m) | Składowa magnetyczna H (A/m) | Gęstość mocy S (W/m ²) |
|---|------------------------------|------------------------------|------------------------------------|
| Zakres Częstotliwości pola elektromagnetycznego | | | |
| od 400 MHz do 2000 MHz | $1,375 \times f^{0,5}$ | $0,0037 \times f^{0,5}$ | f / 200 |
| od 2 GHz do 300 GHz | 61 | 0,16 | 10 |

5. Charakterystyka źródeł PEM.

Zgodnie z informacją otrzymaną od Klienta pomiary zostały wykonane przy ustawieniach pochyleń anten zgodnych z pkt. 13, ppkt 2 Rozporządzenia Ministra Klimatu z dnia 17 lutego 2020 roku.

Tabela 1. Anteny sektorowe – dane otrzymane od klienta

| | | | | | | | | | | | | | | | | |
|---------------------------------|---|-----------------------------------|--------|------------------|-----------|------------|------------------|--------|------------------|------------|-----------|------------------|-----------|-----------|------------------|--------|
| Charakterystyka promieniowania | | kierunkowa | | | | | | | | | | | | | | |
| Rzeczywisty czas pracy [h/dobę] | | 24 | | | | | | | | | | | | | | |
| Rodzaj wytwarzanego pola | | stacjonarne | | | | | | | | | | | | | | |
| L | Wyszczególnienie | sektor 1 | | | | sektor 2 | | | | sektor 3 | | | | | | |
| p | | | | | | | | | | | | | | | | |
| I | | | | | | | | | | | | | | | | |
| Nadajnik stacji bazowej: | | | | | | | | | | | | | | | | |
| 1 | Typ / Producent | DBS/RBS / Overlay Huawei/Ericsson | | | | | | | | | | | | | | |
| 2 | Częstotliwość (pasmo) MHz | 2600 | 800 | 2100 | 1800 | 900 | 2600 | 800 | 2100 | 1800 | 900 | 2100 | 1800 | 900 | 2600 | 800 |
| 3 | Maksymalna moc nadawana na sektor [dBm] | 52,04 | 46,02 | 53,01 | 53,01 | 46,02 | 52,04 | 46,02 | 53,01 | 53,01 | 46,02 | 53,01 | 53,01 | 46,02 | 52,04 | 46,02 |
| II | | | | | | | | | | | | | | | | |
| Obciążenie: | | | | | | | | | | | | | | | | |
| 1 | Typ anteny | Huawei ATR4518R6 | | Huawei ATR4518R6 | | | Huawei ATR4518R6 | | Huawei ATR4518R6 | | | Huawei ATR4518R6 | | | Huawei ATR4518R6 | |
| 2 | Producent anteny | Huawei | | Huawei | | | Huawei | | Huawei | | | Huawei | | | Huawei | |
| 3 | Nazwa anteny | 11_H V | 11_H V | 12_GH LNT | 12_GH LNT | 12_GH LNT | 21_H V | 21_H V | 22_GH LNT | 22_GH LNT | 22_GH LNT | 31_GH LNT | 31_GH LNT | 31_GH LNT | 32_H V | 32_H V |
| 4 | Ilość anten | 1 | | 1 | | | 1 | | 1 | | | 1 | | | 1 | |
| 5 | Azymut | 0 | | | | 120 | | | | 238 | | | | | | |
| 6 | Zakres kątów pochyleń anten [°] | 0,00-10,00 | | | | 0,00-10,00 | | | | 0,00-10,00 | | | | | | |
| 7 | Wysokość załnst. n.p.t. [m] | 28,90 | | | | 28,90 | | | | 28,90 | | | | | | |
| 8 | EIRP [W] | 11812 | | 23089 | | | 11812 | | 23089 | | | 23089 | | | 11812 | |

„Bez pisemnej zgody Laboratorium niniejsze sprawozdanie nie może być powielane inaczej, jak tylko w całości. Ponadto wyniki dotyczą tylko badanych obiektów przywołanych w niniejszym sprawozdaniu z badań”

Tabela 2. Anteny radioliniowe – dane otrzymane od klienta

| Charakterystyka promieniowania | | | | kierunkowa | | | |
|---------------------------------|--------------------|---------------------------|---------------------|---------------------------|---------------------|------------|------------------------|
| Rzeczywisty czas pracy [h/dobę] | | | | 24 | | | |
| Rodzaj wytwarzanego pola | | | | stacjonarne | | | |
| Lp | Linia radiowa | | | Antena | | | |
| | typ/producent | częstotliwość pracy [GHz] | moc wyjściowa [dBm] | typ/producent | średnica anteny [m] | azymut [°] | wysokość zainstal. [m] |
| 1 | OPTIX RTN/HUAWEI | 80 | 18 | VHLP1-80/Andrew | 0,3 | 4 | 29,40 |
| 2 | OPTIX RTN/HUAWEI | 80 | 18 | VHLP2-80/Andrew | 0,6 | 125 | 30,00 |
| 3 | OPTIX RTN/HUAWEI | 18 | 28,5 | VHLPX2-18/Andrew | 0,6 | 174 | 29,40 |
| 4 | MINI-LINK/ERICSSON | 80 | 18 | ANT3 B 0.3 80 HP/Ericsson | 0,3 | 191 | 29,40 |
| 5 | OPTIX RTN/HUAWEI | 18 | 28,5 | VHLPX2-18/Andrew | 0,6 | 213 | 28,20 |

6. Wyniki pomiarów.

Wyniki pomiarów pól elektromagnetycznych dla celów ochrony środowiska przedstawia poniższa tabela. Piony pomiarowe zostały przedstawione w zał. 2.

| Nr PP | Pole-E [V/m] | Pole-E, +U [V/m] | Pole-H [A/m] | Pole-H, +U [A/m] | Wys. pomiaru [m] | Opis pionu | Uwagi | WM _E | WM _H |
|-------|--------------|------------------|--------------|------------------|------------------|--------------------------------|--|-----------------|-----------------|
| 1 | 1,4 | 2,20 | 0,004 | 0,006 | 0,3-2,0 | N:52°42'21.9" E:21°04'55.2" | otoczenie stacji bazowej - 50m wzdłuż gł. osi promieniowania - GKP | 0,079 | 0,080 |
| 2 | 1,3 | 2,04 | 0,003 | 0,005 | 0,3-2,0 | N:52°42'23.6" E:21°04'55.5" | otoczenie stacji bazowej - 100m wzdłuż gł. osi promieniowania - GKP | 0,073 | 0,074 |
| 3 | 1,2 | 1,88 | 0,003 | 0,005 | 0,3-2,0 | N:52°42'25.2" E:21°04'55.5" | otoczenie stacji bazowej - 150m wzdłuż gł. osi promieniowania - GKP | 0,067 | 0,068 |
| 4 | 0,9 | 1,41 | 0,002 | 0,004 | 0,3-2,0 | N:52°42'27.0" E:21°04'55.5" | otoczenie stacji bazowej - 200m wzdłuż gł. osi promieniowania - GKP | 0,050 | 0,051 |
| 5 | 0,9 | 1,41 | 0,002 | 0,004 | 0,3-2,0 | N:52°42'28.4" E:21°04'55.6" | otoczenie stacji bazowej - 250m wzdłuż gł. osi promieniowania - GKP | 0,050 | 0,051 |
| 6 | 0,9 | 1,41 | 0,002 | 0,004 | 0,3-2,0 | N:52°42'29.6" E:21°04'55.6" | otoczenie stacji bazowej - 316m wzdłuż gł. osi promieniowania - GKP | 0,050 | 0,051 |
| 7 | 1,0 | 1,57 | 0,003 | 0,004 | 0,3-2,0 | N:52°42'19.6" E:21°04'57.1" | otoczenie stacji bazowej - 50m wzdłuż gł. osi promieniowania - GKP | 0,056 | 0,057 |
| 8 | 1,4 | 2,20 | 0,004 | 0,006 | 0,3-2,0 | N:52°42'18.7" E:21°04'59.6" | otoczenie stacji bazowej - 100m wzdłuż gł. osi promieniowania - GKP | 0,079 | 0,080 |
| 9 | 1,2 | 1,88 | 0,003 | 0,005 | 0,3-2,0 | N:52°42'17.7" E:21°05'02.3" | otoczenie stacji bazowej - 150m wzdłuż gł. osi promieniowania - GKP | 0,067 | 0,068 |
| 10 | 1,0 | 1,57 | 0,003 | 0,004 | 0,3-2,0 | N:52°42'16.9" E:21°05'04.2" | otoczenie stacji bazowej - 200m wzdłuż gł. osi promieniowania - GKP | 0,056 | 0,057 |
| 11 | 1,0 | 1,57 | 0,003 | 0,004 | 0,3-2,0 | N:52°42'16.0" E:21°05'06.5" | otoczenie stacji bazowej - 250m wzdłuż gł. osi promieniowania - GKP | 0,056 | 0,057 |
| 12 | 0,9 | 1,41 | 0,002 | 0,004 | 0,3-2,0 | N:52°42'15.1" E:21°05'09.6" | otoczenie stacji bazowej - 316m wzdłuż gł. osi promieniowania - GKP | 0,050 | 0,051 |
| 13 | 1,2 | 1,88 | 0,003 | 0,005 | 0,3-2,0 | N:52°42'19.5" E:21°04'52.8" | otoczenie stacji bazowej - 50m wzdłuż gł. osi promieniowania - GKP | 0,067 | 0,068 |
| 14 | 0,9 | 1,41 | 0,002 | 0,004 | 0,3-2,0 | N:52°42'18.8" E:21°04'50.7" | otoczenie stacji bazowej - 100m wzdłuż gł. osi promieniowania - GKP | 0,050 | 0,051 |
| 15 | 1,0 | 1,57 | 0,003 | 0,004 | 0,3-2,0 | N:52°42'17.8" E:21°04'48.4" | otoczenie stacji bazowej - 150m wzdłuż gł. osi promieniowania - GKP | 0,056 | 0,057 |
| 16 | 0,9 | 1,41 | 0,002 | 0,004 | 0,3-2,0 | N:52°42'17.0" E:21°04'46.2" | otoczenie stacji bazowej - 200m wzdłuż gł. osi promieniowania - GKP | 0,050 | 0,051 |
| 17 | 0,9 | 1,41 | 0,002 | 0,004 | 0,3-2,0 | N:52°42'16.2" E:21°04'43.6" | otoczenie stacji bazowej - 250m wzdłuż gł. osi promieniowania - GKP | 0,050 | 0,051 |
| 18 | 1,6 | 2,51 | 0,004 | 0,007 | 0,3-2,0 | N:52°42'21.5" E:21°04'55.6" | otoczenie stacji bazowej - 40m wzdłuż gł. osi promieniowania - GKP | 0,090 | 0,091 |
| 19 | 1,3 | 2,04 | 0,003 | 0,005 | 0,3-2,0 | N:52°42'19.3" E:21°04'58.7" | otoczenie stacji bazowej - 75m wzdłuż gł. osi promieniowania - GKP | 0,073 | 0,074 |

„Bez pisemnej zgody Laboratorium niniejsze sprawozdanie nie może być powielane inaczej, jak tylko w całości. Ponadto wyniki dotyczą tylko badanych obiektów przywołanych w niniejszym sprawozdaniu z badań”
33/04/OŚ/2023-P4-W

| | | | | | | | | | |
|----|-----|------|-------|-------|---------|--------------------------------|---|-------|-------|
| 20 | 0,9 | 1,41 | 0,002 | 0,004 | 0,3-2,0 | N:52°42'18.0" E:21°04'56.3" | otoczenie stacji bazowej - 75m wzdłuż gł. osi promieniowania - GKP | 0,050 | 0,051 |
| 21 | 0,8 | 1,26 | 0,002 | 0,003 | 0,3-2,0 | N:52°42'18.3" E:21°04'52.8" | otoczenie stacji bazowej - 75m wzdłuż gł. osi promieniowania - GKP | 0,045 | 0,046 |
| 22 | 1,4 | 2,20 | 0,004 | 0,006 | 0,3-2,0 | N:52°42'22.3" E:21°04'57.8" | otoczenie stacji bazowej - GKP | 0,079 | 0,080 |
| 23 | 1,2 | 1,88 | 0,003 | 0,005 | 0,3-2,0 | N:52°42'21.3" E:21°04'58.0" | otoczenie stacji bazowej - GKP | 0,067 | 0,068 |
| 24 | 0,8 | 1,26 | 0,002 | 0,003 | 0,3-2,0 | N:52°42'18.0" E:21°04'57.3" | otoczenie stacji bazowej - GKP | 0,045 | 0,046 |
| 25 | 0,8 | 1,26 | 0,002 | 0,003 | 0,3-2,0 | N:52°42'18.8" E:21°04'54.8" | otoczenie stacji bazowej - GKP | 0,045 | 0,046 |
| 26 | 0,9 | 1,41 | 0,002 | 0,004 | 0,3-2,0 | N:52°42'20.4" E:21°04'51.0" | otoczenie stacji bazowej - GKP | 0,050 | 0,051 |
| 27 | 1,4 | 2,20 | 0,004 | 0,006 | 0,3-2,0 | N:52°42'22.3" E:21°04'53.4" | otoczenie stacji bazowej - GKP | 0,079 | 0,080 |
| A | 1,0 | 1,57 | 0,003 | 0,004 | 0,3-2,0 | N:52°42'20.6" E:21°04'54.9" | New Britain 1, pomiar przed budynkiem -DPP | 0,056 | 0,057 |
| B | 1,3 | 2,04 | 0,003 | 0,005 | 0,3-2,0 | N:52°42'21.9" E:21°04'55.6" | New Britain 12b, pomiar przed budynkiem -DPP | 0,073 | 0,074 |
| C | 1,1 | 1,73 | 0,003 | 0,005 | 0,3-2,0 | N:52°42'25.1" E:21°04'55.2" | 17 Sierpnia 3c, pomiar przed budynkiem -DPP | 0,062 | 0,063 |
| D | 1,2 | 1,88 | 0,003 | 0,005 | 0,3-2,0 | N:52°42'26.4" E:21°04'55.4" | Aleja Wojska Polskiego 7a, pomiar przed budynkiem -DPP | 0,067 | 0,068 |
| E | 0,9 | 1,41 | 0,002 | 0,004 | 0,3-2,0 | N:52°42'27.7" E:21°04'56.1" | Aleja Wojska Polskiego 7, pomiar przed budynkiem -DPP | 0,050 | 0,051 |
| F | 0,9 | 1,41 | 0,002 | 0,004 | 0,3-2,0 | N:52°42'28.6" E:21°04'55.7" | Aleja Wojska Polskiego 8, pomiar przed budynkiem -DPP | 0,050 | 0,051 |
| G | 1,0 | 1,57 | 0,003 | 0,004 | 0,3-2,0 | N:52°42'17.2" E:21°05'02.7" | Żwirki i Wigury 28, pomiar przed budynkiem -DPP | 0,056 | 0,057 |
| H | 1,2 | 1,88 | 0,003 | 0,005 | 0,3-2,0 | N:52°42'20.4" E:21°04'51.8" | 17 Sierpnia 19/19a, pomiar przed bramą -DPP | 0,067 | 0,068 |
| I | 1,1 | 1,73 | 0,003 | 0,005 | 0,3-2,0 | N:52°42'19.1" E:21°04'51.4" | 17 Sierpnia 23, pomiar przed budynkiem -DPP | 0,062 | 0,063 |
| J | 1,1 | 1,73 | 0,003 | 0,005 | 0,3-2,0 | N:52°42'17.6" E:21°05'03.5" | Żwirki i Wigury 26, pomiar przed bramą -DPP | 0,062 | 0,063 |
| K | 1,1 | 1,73 | 0,003 | 0,005 | 0,3-2,0 | N:52°42'17.2" E:21°05'03.9" | Żwirki i Wigury 23, pomiar przed budynkiem -DPP | 0,062 | 0,063 |
| L | 1,0 | 1,57 | 0,003 | 0,004 | 0,3-2,0 | N:52°42'18.5" E:21°04'50.9" | 17 Sierpnia 25, pomiar przed budynkiem -DPP | 0,056 | 0,057 |
| M | 0,9 | 1,41 | 0,002 | 0,004 | 0,3-2,0 | N:52°42'14.6" E:21°05'09.7" | 3 Maja 1, pomiar przed budynkiem - DPP | 0,050 | 0,051 |
| N | 1,4 | 2,20 | 0,004 | 0,006 | 0,3-2,0 | N:52°42'22.0" E:21°04'56.2" | New Britain 6, pomiar przed budynkiem -DPP | 0,079 | 0,080 |
| O | 1,1 | 1,73 | 0,003 | 0,005 | 0,3-2,0 | N:52°42'19.7" E:21°04'51.5" | 17 Sierpnia 21, pomiar przed budynkiem -DPP | 0,062 | 0,063 |
| P | 1,4 | 2,20 | 0,004 | 0,006 | 0,3-2,0 | N:52°42'21.4" E:21°04'51.8" | 17 Sierpnia 17, pomiar przed budynkiem -DPP | 0,079 | 0,080 |
| R | 1,1 | 1,73 | 0,003 | 0,005 | 0,3-2,0 | N:52°42'18.4" E:21°04'49.8" | 17 Sierpnia 46, pomiar przed budynkiem -DPP | 0,062 | 0,063 |
| S | 1,0 | 1,57 | 0,003 | 0,004 | 0,3-2,0 | N:52°42'17.6" E:21°04'46.9" | 17 Stycznia 1, pomiar przed budynkiem -DPP | 0,056 | 0,057 |
| T | 0,9 | 1,41 | 0,002 | 0,004 | 0,3-2,0 | N:52°42'16.7" E:21°04'44.5" | Kombatantów 4, pomiar przed budynkiem -DPP | 0,050 | 0,051 |
| U | 0,9 | 1,41 | 0,002 | 0,004 | 0,3-2,0 | N:52°42'15.9" E:21°04'42.7" | Kombatantów 5, pomiar przed budynkiem -DPP | 0,050 | 0,051 |

Wynik pomiaru pole - E [V/m] - maksymalna wartość chwilowa zmierzona w danym pionie pomiarowym (uśredniona na podstawie punktu 11 załącznika do Rozporządzenia Ministra Klimatu z dnia 17 lutego 2020 r. w sprawie sposobów sprawdzania dotrzymania dopuszczalnych poziomów pól elektromagnetycznych w środowisku (Dz.U. 2020 poz. 258, Dz.U. 2022 poz. 1121)). Zgodnie z pkt. 7 załącznika do Rozporządzenia Ministra Klimatu z dnia 17 lutego 2020 r. w sprawie sposobów sprawdzania dotrzymania dopuszczalnych poziomów pól elektromagnetycznych w środowisku (Dz.U. 2020 poz. 258, Dz.U. 2022 poz. 1121) nie stosuje się poprawek pomiarowych.

Przyjęto najniższą dopuszczalną wartość składowej elektrycznej pola dla objętego pomiarami zakresu częstotliwości $\min(ME_{gr}) = 28 \text{ V/m}$ oraz składowej magnetycznej $\min(MH_{gr}) = 0,073 \text{ A/m}$.

* - wartość zmierzona poniżej zakresu akredytacji. Do obliczeń przyjęto wartość zgodną z dolną granicą

„Bez pisemnej zgody Laboratorium niniejsze sprawozdanie nie może być powielane inaczej, jak tylko w całości. Ponadto wyniki dotyczą tylko badanych obiektów przywołanych w niniejszym sprawozdaniu z badań”

akredytowanego zakresu pomiarowego metody.

GKP - główne kierunki pomiarowe

PKP - pomocnicze kierunki pomiarowe

DPP - dodatkowe punkty pomiarowe

PP - pion pomiarowy

U - niepewność pomiarowa rozszerzona, przy poziomie ufności 95%, z uwzględnieniem współczynnika rozszerzenia $k=2$

WM_E - wartość wskaźnikowa poziomu emisji pól elektromagnetycznych dla miejsc dostępnych dla ludności dla składowej elektrycznej pola

WM_H - wartość wskaźnikowa poziomu emisji pól elektromagnetycznych dla miejsc dostępnych dla ludności dla składowej magnetycznej pola

7. Stwierdzenie zgodności

Na podstawie wytycznych podanych w Rozporządzeniu Ministra Zdrowia z dnia 17 grudnia 2019 r. w sprawie dopuszczalnych poziomów pól elektromagnetycznych w środowisku (Dz.U. 2019 poz. 2448) oraz sposobów sprawdzania dotrzymania tych poziomów zgodnie z Rozporządzeniem Ministra Klimatu z dnia 17 lutego 2020 r. w sprawie sposobów sprawdzania dotrzymania dopuszczalnych poziomów pól elektromagnetycznych w środowisku (Dz.U. 2020 poz. 258) oraz Rozporządzeniem Ministra Klimatu i Środowiska z dnia 6 maja 2022 r. zmieniającego rozporządzenie w sprawie sposobów sprawdzania dotrzymywania dopuszczalnych poziomów pól elektromagnetycznych w środowisku (Dz.U. 2022 poz. 1121), dotyczących źródła wymagań, które muszą być spełnione, w oparciu o zasadę podejmowania decyzji zgodną z pkt. 26 Rozporządzenia Ministra Klimatu z dnia 17 lutego 2020 r. (Dz.U. 2020 poz. 258), na podstawie wyników pomiarów pól elektromagnetycznych wykonanych w dniu 18.04.2023 stwierdzono, że wszystkie wyniki przeprowadzonych pomiarów w danym obszarze pomiarowym oraz wyznaczone na tej podstawie wskaźniki WME oraz WMH są mniejsze od wartości dopuszczalnych – zgodnie z przepisami wydanymi na podstawie art. 122 ust. 1 ustawy z dnia 27 kwietnia 2001 r. – Prawo ochrony środowiska – załącznikiem do Rozporządzenia Ministra Klimatu i Środowiska z dnia 17 lutego 2020 r. w sprawie sposobów sprawdzania dotrzymywania dopuszczalnych poziomów pól elektromagnetycznych w środowisku (Dz.U. 2020 poz. 258, pkt 26).

8. Oświadczenie.

Wyniki badania odnoszą się wyłącznie do badanego obiektu.

Bez pisemnej zgody sprawozdanie nie może być powielane inaczej, jak tylko w całości.

Uwagi i zastrzeżenia przyjmowane są w formie pisemnej.

9. Spis załączników.

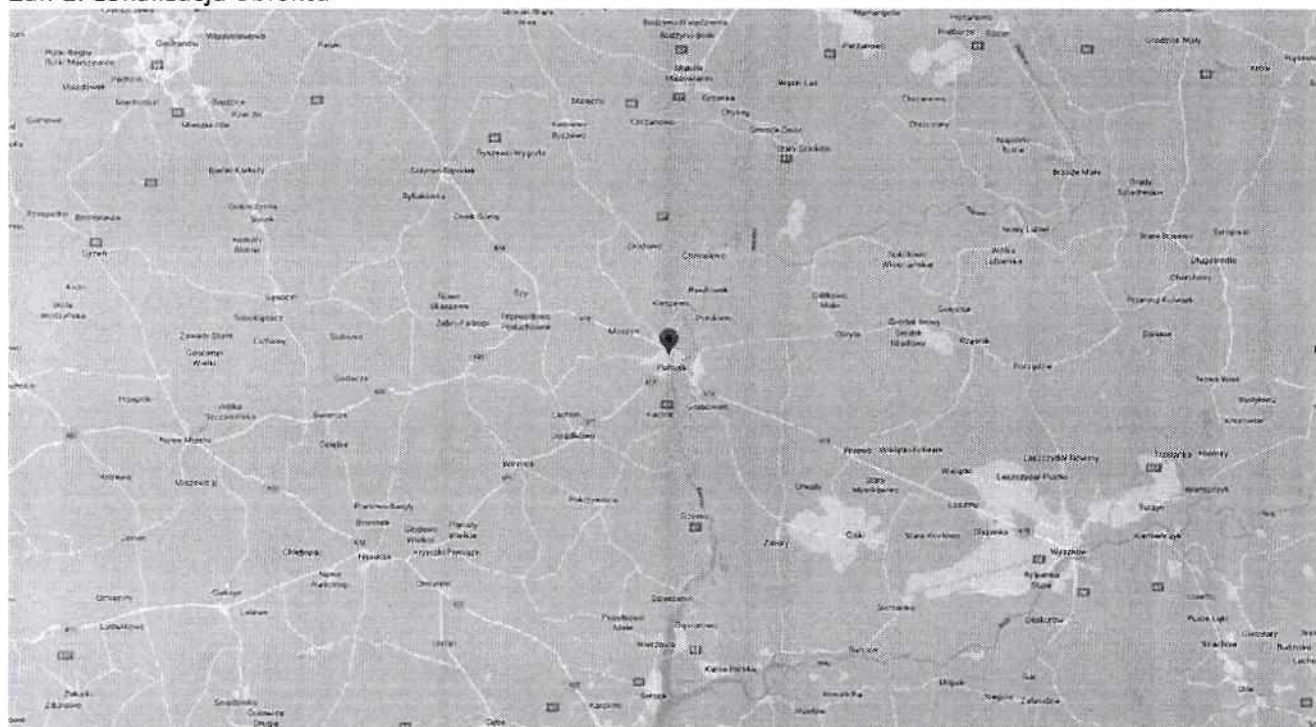
Zał. 1. Lokalizacja obiektu.

Zał. 2. Widok pionów pomiarowych

Zał. 3. Załączniki graficzne

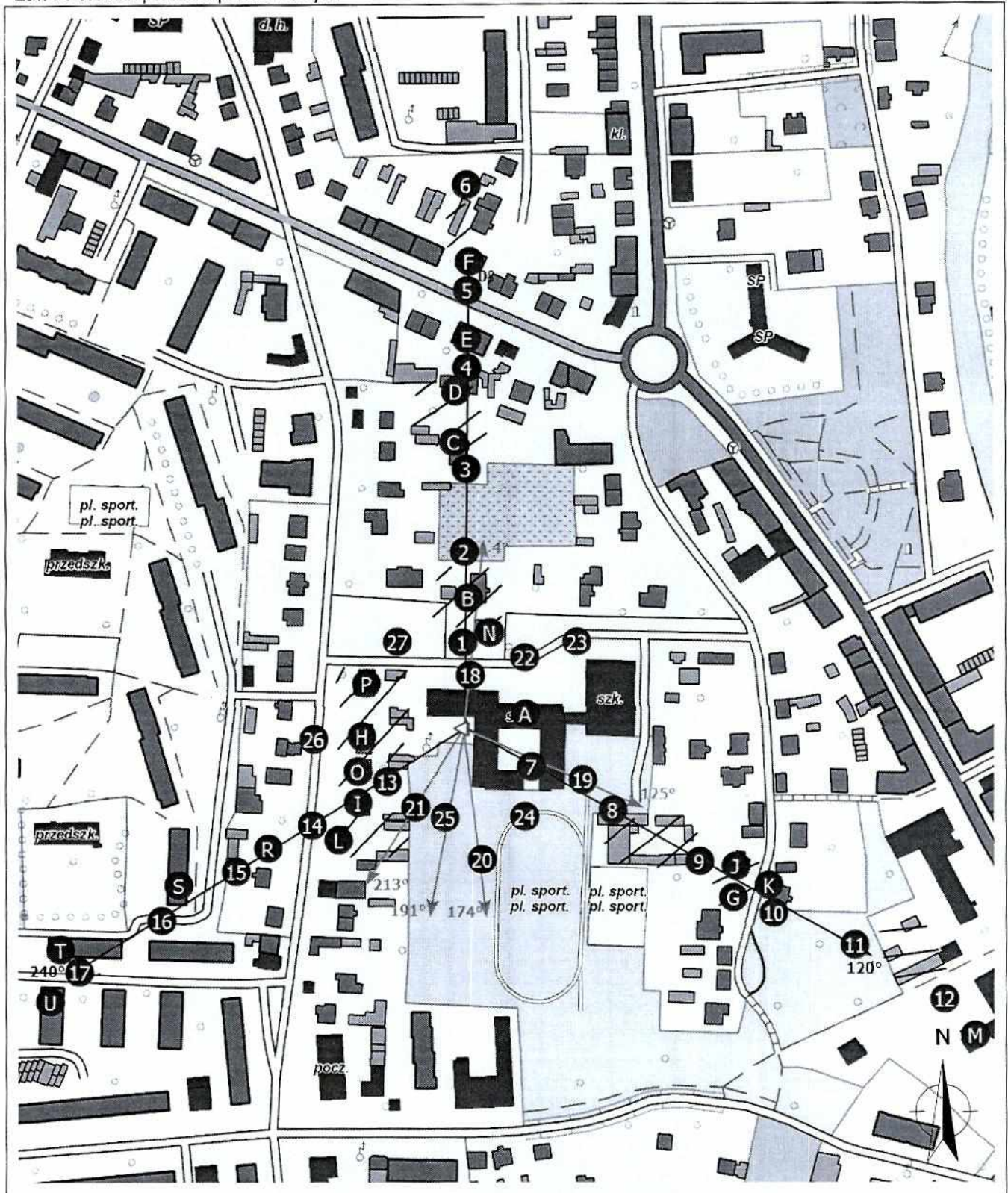
Koniec sprawozdania

Zał. 1. Lokalizacja obiektu



| Współrzędne geograficzne | |
|--------------------------|---------------|
| długość: | 21°04'55.18"E |
| szerokość: | 52°42'20.49"N |

Załącznik 2. Widok pionów pomiarowych



„Bez pisemnej zgody Laboratorium niniejsze sprawozdanie nie może być powielane inaczej, jak tylko w całości. Ponadto wyniki dotyczą tylko badanych obiektów przywołanych w niniejszym sprawozdaniu z badań”
33/04/OŚ/2023-P4-W

Załącznik 3. Załączniki graficzne.



